

## 次声信号对碱性磷酸酶活力的影响

沈持衡 欧阳培

(厦门大学电子工程系) (厦门大学生物系)

### 提 要

本文提出一种激活碱性磷酸酶的新方法,即采用低频次声信号振动碱性磷酸酶。如次声频率和声压适合,可将含有少许杂蛋白质的酶活力(比对照组)提高20%左右,但对较纯酶则无显著作用。同时发现用过渡金属离子激活此酶,然后再以适合的次声信号处理,可将活力再提高。此外,用次声信号处理培养缸内的金鱼,在两天后,杀鱼取酶,其平均活力亦被提高。

### 前 言

人们很早就发现磁性对某些酶有激活作用,此外如超声,光,热等物理因素,均能引起酶的反应,亦为早已知道的事实。唯关于次声信号对酶的作用,则尚未见报道。本文作者曾用过次声处理其他生物的实验<sup>[1-3]</sup>。发现其可使生长率增加。由此启发,对碱性磷酸酶进行次声振动实验,发现其具有将此种酶的比活力较对照组提高20%左右的作用。此法具有创新意义,至于更详尽的以及其他酶类的试验,将继续进行,再行报道。

### 材 料 与 方 法

(甲) 次声信号系统 用20瓦低频信号发生器(自1 Hz至100 Hz),推动一10瓦飞乐牌YD 10-2504十吋口径十瓦橡皮边喇叭,将一个 $\phi$ 2厘米浅盘盛酶液置于喇叭口中心<sup>[3,4]</sup>下面,喇叭置木板上,用2毫米纸板垫高,以留出泄放空气的间隙。改变发生器的频率及强度。测量酶液面上的声压、次声频率与波形,用丹麦BK公司出产的次声4147型传声器及2631型传声器载波系统,以及美HP 3582 A型频谱分析仪。由于所用喇叭谐振频率在30赫附近,故在使用

频率为5赫及10赫时,30赫谐波特别显著,为证实此较高频谐波,不影响低频信号对酶的活力作用。用30赫信号激动酶,观察其对酶活力的影响,结果显示其激活作用低于次声信号(见图3)。以20微帕( $\mu$ Pa)为0分贝作为声压基准。

(乙) 碱性磷酸酶之提取 采用厦门海沧的牡蛎,去壳将新鲜组织捣碎,按Morton法<sup>[5,6]</sup>,用正丁醇处理,并用硫酸铵分级沉淀分离,如此获得酶液,储于5℃冰箱内,供三、四日内之实验。

酶活力的测定:(a)按Garen法<sup>[7]</sup>,在0.1 mol/L  $\text{Na}_2\text{CO}_3$ - $\text{NaHCO}_3$ 缓冲液中(内含有激活剂 $\text{Mg}^{++}$ ),加入对硝基苯磷酸二钠(PNPP)作底物,测量时加入稀释后的酶液0.5 ml,使其总体积为2.0 ml。此时其底物的终浓度为1 mmol/L。在37℃下保持10分钟后,立即加入0.1 mol/L NaOH终止反应剂。冷却后,用美制Beckman厂Du-8B紫外-可见分光光度计,在400 nm测量反应产物的吸收值A,然后以对硝基苯酚(PNP)制作标准曲线,计算其酶活力。(b)底物及酶促反应条件全同(a),但不加终止剂,而采用动力分析法<sup>[8]</sup>,在Du-8D光度计中,加温到一定温度后,自动记录其每分

钟(或每两分钟)之  $A$  值, 由此制成曲线(如图 1、2、3), 并可从此计算其  $\Delta A/\text{min}$  值, 亦即此曲线之斜率, 斜率愈高, 则活力愈大。

蛋白质浓度测定: 按 Lowry<sup>12</sup> 的 Folin 酚试剂法测定, 以牛血清清蛋白作标准。

## 实验结果

### 一、不同频率及不同声压的次声信号对碱性磷酸酶活力的影响

(1) 依照乙项 (b) 法, 取酶液各 5.0 ml 置于浅盘中, 分别用 5, 10, 15, 20 赫频率 ( $f$ ) 而声压 ( $P_s$ ) 几乎相同的信号激动。经过 1 小时后, 与对照酶液 E 同时放入光度计内, 在 400 nm 波长、及 37°C 下测定其各自吸收强度  $A$  值的变化, 绘成曲线, 如图 1。再用同法, 固定频率于 10 赫而变化其声压, 绘成曲线如图 2。最后固定其声压为 127.7 分贝, 而变化其频率为 10, 20

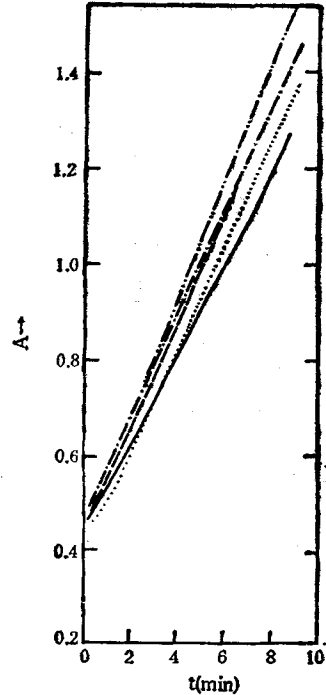


图 2 不同声压时吸收值 ( $A$ )—时间 ( $t$ ) 曲线

| $f = 10 \text{ Hz}$ |         | $\Delta A/\text{min}$ |
|---------------------|---------|-----------------------|
| $P_s$               |         |                       |
| .....               | 129.7db | 0.112                 |
| ·-·-·               | 127.7db | 0.133                 |
| -·-·-               | 126.7db | 0.102                 |
| — — —               | 123.7db | 0.102                 |
| ———                 | E       | 0.094                 |

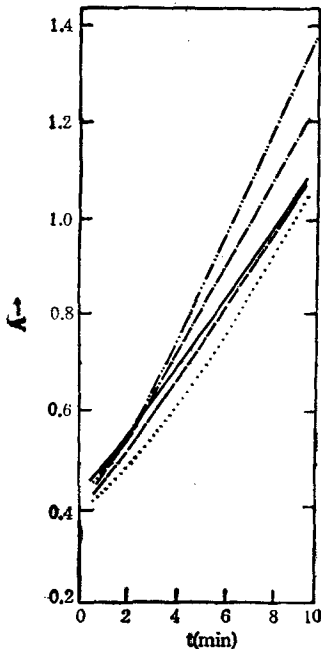


图 1 不同频率时吸收值 ( $A$ )—时间 ( $t$ ) 曲线

E: 表示对照组(后同)

| $f$   | $P_s$ | $\Delta A/\text{min}$ |       |
|-------|-------|-----------------------|-------|
| ..... | 20Hz  | 127 db                | 0.071 |
| -·-·- | 15Hz  | 127.7db               | 0.088 |
| ·-·-· | 10Hz  | 127.7db               | 0.012 |
| — — — | 5Hz   | 128.3db               | 0.080 |
| ———   | E     |                       | 0.076 |

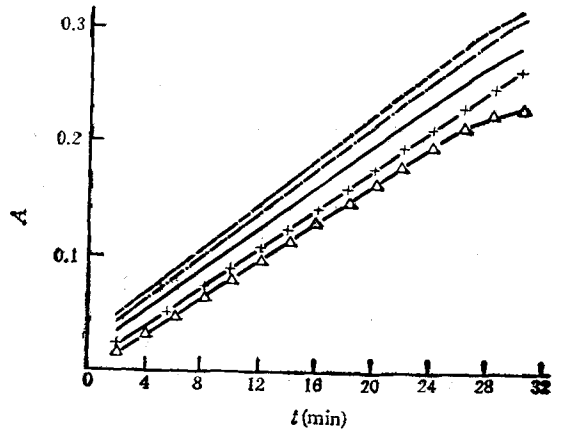


图 3 不同频率时吸收值 ( $A$ )—时间 ( $t$ ) 曲线

|           |         |
|-----------|---------|
| ———       | E       |
| - - - -   | 10Hz(1) |
| - · - · - | 10Hz(2) |
| -x-x-x-   | 20Hz    |
| -△-△-     | 30Hz    |
| T 303°K   |         |

及 30 赫, 同用上法在温度 303°K 下测量, 绘成曲线如图 3。

由图 1 可见, 以 10 赫激活之  $A$  值曲线, 高于其他频率及对照组 (E), 其平均斜率  $\Delta A/\text{min}$ , 亦最大, 即其激活力最高。于是即取 10 赫频率为准, 变化其声压, 在图 2 中表示出以 127.7 分贝之声压激活之曲线斜率最大, 由此得出初步粗估值, 以 10 赫及 127.7 分贝对碱性磷

酸酶之激活作用最高。又如图 3, 其 30 赫之次声作用不但低于 10 赫的, 而且更低于对照组 E, 可见以次声范围内之 10 赫频率激活作用最大, 而由喇叭产生之 30 赫谐波作用, 无大影响。

(图 3 所用的碱性磷酸酶, 系自文蛤中提出的, 曾用 40°C 及 45°C 做实验, 主要结果皆相同)。

表 1 不同次声频率与酶的比活力增值关系

| 次 声 信 号              |                        | 酶  |              |
|----------------------|------------------------|--|--------------|
| 频率<br>$f(\text{Hz})$ | 声压<br>$P_s(\text{db})$ | 比 活 力<br>$\mu\text{mPnP}/\text{mg}(\text{Pro})/\text{min}$ | 比活力增值<br>(%) |
| —                    | E                      | 2.27   | —            |
| 10                   | 128.3                  | 2.59   | 14.1         |
| 10                   | 128.3                  | 2.58   | 13.7         |
| 15                   | 125.5                  | 2.23   | -1.8         |
| 15                   | 125.5                  | 2.22   | -2.2         |
| 15                   | 129.7                  | 2.20   | -3.1         |
| 15                   | 129.7                  | 2.21   | -2.64        |
| 20                   | 128.3                  | 2.15   | -5.29        |
| 20                   | 128.3                  | 2.13   | -6.17        |
| —                    | E                      | 2.19   | —            |
| 10                   | 125.5                  | 2.21   | 0.913        |
| 10                   | 125.5                  | 2.28   | 4.11         |
| 10                   | 129.7                  | 2.32   | 5.94         |
| 20                   | 129.7                  | 2.30   | 6.02         |
| 20                   | 125.5                  | 2.14   | -2.40        |
| 20                   | 125.5                  | 2.16   | -1.37        |
| 20                   | 128.3                  | 2.00   | -8.60        |
| 20                   | 128.3                  | 2.05   | -6.40        |

注: a 蛋白浓度 0.600 mg/ml b 蛋白浓度 0.538 mg/ml

表 2 不同次声声压对酶的比活力增值关系

| 次 声 信 号        |                  | 酶  |              |
|----------------|------------------|--|--------------|
| $f(\text{Hz})$ | $P_s(\text{db})$ | 比 活 力<br>$\mu\text{mPnP}/\text{mg}(\text{Pro})/\text{min}$ | 比活力增值<br>(%) |
| —              | E                | 2.29   | —            |
| 10             | 126.7            | 2.54   | 10.9         |
| 10             | 126.7            | 2.45   | 6.99         |
| 10             | 127.7            | 2.67   | 16.5         |
| 10             | 127.7            | 2.67   | 16.5         |
| 10             | 127.7            | 2.67   | 16.5         |
| 10             | 127.7            | 2.76   | 20.5         |
| 10             | 128.3            | 2.58   | 12.7         |
| 10             | 128.3            | 2.63   | 14.8         |

注: 蛋白浓度 0.600 mg/ml

(2) 依照(乙)项(a)法,测定并计算酶比活力列表如1,2及3。在表1中看出,三种频率中以10赫的比活力增值为最大;在表2中,可看出,同为10赫频率时,以127.7分贝的比

活力增值最大,在16.5%至20%间。表3所列,由于采用从美Sigma公司购买之纯酶,其次声激活作用,不明显。

表3 不同声压对纯(近似)酶活力增值的关系

| 次 声 信 号 |                     | 酶                          |              |
|---------|---------------------|----------------------------|--------------|
| f(Hz)   | P <sub>i</sub> (db) | 比 活 力<br>μmPnP/mg(Pro)/min | 比活力增值<br>(%) |
| —       | E                   | 15.0                       | —            |
| 10      | 123.9               | 14.7                       | -1.97        |
| 10      | 123.9               | 14.7                       | -1.97        |
| 10      | 125.5               | 15.4                       | 1.97         |
| 10      | 125.5               | 15.4                       | 1.97         |
| 10      | 127.7               | 15.7                       | 3.95         |
| 10      | 127.7               | 15.7                       | 3.95         |
| 10      | 129.7               | 15.2                       | 1.32         |
| 10      | 129.7               | 15.2                       | 1.32         |

注: 蛋白浓度 0.079 mg/ml

表4 次声信号对加入微量金属离子后的酶活性影响

| 次 声 信 号 |                     | 酶或加入微量金属离子之酶               |                   |
|---------|---------------------|----------------------------|-------------------|
| f(Hz)   | P <sub>i</sub> (db) | 比 活 力<br>μmPnP/mg(Pro)/min | 比活力增值<br>(%)      |
| 对照1     | E1                  | 1.77 <sup>a</sup>          | —                 |
| 对照2     | E2                  | 1.88                       | 6.21 <sup>c</sup> |
| 5       | 128.3               | 2.04                       | 15.3              |
| 5       | 128.3               | 1.90                       | 1.06              |
| 10      | 127.7               | 2.58                       | 37.2              |
| 10      | 127.7               | 2.43                       | 29.2              |
| 对照3     | E3                  | 2.23 <sup>b</sup>          | 26.0 <sup>c</sup> |
| 5       | 128.3               | 2.53                       | 13.5              |
| 5       | 128.3               | 2.48                       | 11.2              |
| 10      | 127.7               | 2.75                       | 23.3              |
| 10      | 127.7               | 2.68                       | 20.2              |

注: E1 未加金属离子及未加次声处理; E2 加 Mn<sup>2+</sup> 但未经次声处理; E3 加 Fe<sup>2+</sup>, 但未经次声处理; a. 蛋白浓度 0.523 mg/ml; b. 蛋白浓度 0.514 mg/ml; c. E2 或 E3 与 E1 比较之活力增值; d. 加次声后对 E2 或 E3 比活力之增值。

## 二、次声信号对加入过渡金属离子于酶体的激活作用

在一定量酶液中,分别加入一定浓度的各种过渡金属离子,摇匀后,各吸取 5.0 ml,以不同频率及声压的次声信号处理,1 小时后,求出其活力变化。结果分别列于表 4 及 5 中。

由 4,5 二表可见,加入 Mn<sup>2+</sup> 和 Co<sup>2+</sup> 后,经次声处理,其比活力增加最多,加入 Ni<sup>2+</sup> 的

次之,加入 Cu<sup>2+</sup> 的无显著变化,而加入 Zn<sup>2+</sup> 的其活力较未经次声处理的略减。

## 三、用次声信号振动水中金鱼后,其酶活力的变化

第一批在 4000 ml 培养缸,培养约 4 厘米长的金鱼,在两天内每天换水一次,并加入同样的饵料,分 A, B, C 三缸。A 缸为对照组,不供氧不加次声处理; B 缸只加次声处理; C 缸只

用小气泵打气。每天测量C缸溶氧量为饱和值的100%，B缸为55%，A缸为45%。二天后杀鱼，分别捣碎，每条金鱼各加入5.0 ml的0.01 mol/L Tris-HCl (pH 7.5 内含有0.1 mol/L NaCl) 提取酶液，过滤后分别吸取酶液0.5 ml，按乙项(a)法测定，其结果如表6。

由表6可见，用次声处理的B缸，其水中溶

氧量虽较打气的为低，但其酶的平均比活力反而较高。

第二批用二个培养缸培养同上项相同的金鱼。一缸全日只打气供氧；另一缸每半日只打气供氧一小时，其余时间用次声振动，在次声振动半日后测氧，其溶氧量为饱和值的60%左右，而打气供氧的经常维持饱和。如此处理二

表5 次声信号对加入微量金属离子后酶活性的影响

| 次 声 信 号 |                     | 酶或加入微量金属离子之酶               |                   |
|---------|---------------------|----------------------------|-------------------|
| f(Hz)   | P <sub>r</sub> (db) | 比 活 力<br>μmPnP/mg(Pro)/min | 比活力增值<br>(%)      |
| 对照      | E1                  | 1.84 <sup>a</sup>          | —                 |
| 对照      | E2                  | 1.85                       | 0.54 <sup>c</sup> |
| 10      | 127.7               | 2.20                       | 18.9              |
| 10      | 127.7               | 2.27                       | 22.7              |
| 对照      | E3                  | 1.86                       | 1.09 <sup>c</sup> |
| 10      | 127.7               | 2.27                       | 15.6              |
| 10      | 127.7               | 2.17                       | 16.7              |
| 对照      | E4                  | 1.93                       | 3.76 <sup>c</sup> |
| 10      | 127.7               | 2.12                       | 9.84              |
| 10      | 127.7               | 2.12                       | 9.84              |
| 对照      | E5                  | 1.85                       | 0.54 <sup>c</sup> |
| 10      | 127.7               | 1.83                       | -0.54             |
| 10      | 127.7               | 1.81                       | -1.63             |

E1 未加金属离子及未经次声处理之酶； E2 加入微量 Co<sup>2+</sup>，但未经次声处理之酶； E3 加入微量 Ni<sup>2+</sup>，但未经次声处理之酶； E4 加入微量 Cu<sup>2+</sup>，但未经次声处理之酶； E5 加入微量 Zn<sup>2+</sup>，但未经次声处理之酶； a. 蛋白浓度 0.53 mg/ml； b. 蛋白浓度 0.518 mg/ml； c. E2, E3, E4 或 E5 与 E1 比较之比活力增值； d. 加次声后对 E2, E3, E4 或 E5 比活力之增值。

表6 次声信号对金鱼体内酶活力的影响

| 金鱼编号 | 蛋白浓度<br>(mg/ml) | 酶                          |                |
|------|-----------------|----------------------------|----------------|
|      |                 | 比 活 力<br>μmPnP/mg(Pro)/min | 平均比活力增值<br>(%) |
| A {  | 1               | 0.0448                     | —              |
|      | 2               | 0.0431                     |                |
|      | 3               | 0.0840                     |                |
|      | 4               | 0.0954                     |                |
|      | 5               | 0.0762                     |                |
| B {  | 6               | 0.0883                     | 71.2%          |
|      | 7               | 0.1993                     |                |
|      | 8               | 0.1029                     |                |
|      | 9               | 0.1050                     |                |
|      | 10              | 0.0926                     |                |
| C {  | 11              | 0.1264                     | 21.7%          |
|      | 12              | 0.0521                     |                |
|      | 13              | 0.0724                     |                |

表7 次声信号与打气供氧处理后金鱼酶活力的比较

| 酶    |               |  |                      |       |
|------|---------------|--|----------------------|-------|
| 金鱼编号 | 蛋白浓度<br>mg/ml | 比活力<br>$\mu\text{mPnP}/\text{mg}(\text{Pro})/\text{min}$ | 平均比活力增值<br>(%)       |       |
| A    | 1             | 7.75   | 0.057 } 平均值<br>0.060 | —     |
|      | 2             | 5.30   |                      |       |
|      | 3             | 5.80   |                      |       |
| B    | 1             | 17.55  | 0.073 } 平均值<br>0.083 | 38.3% |
|      | 2             | 8.50   |                      |       |
|      | 3             | 5.20   |                      |       |
|      | 4             | 4.75   |                      |       |

日后杀鱼,与上批同法测定其比活力,结果如表7。

由表7可见,用次声振动的酶活力仍高于只供氧的活力。

### 讨 论

总结上述结果,可见在使用某一给定频率及声压范围内的次声信号,对含有不同量粗杂蛋白的碱性磷酸酶液振动后,可以产生明显的激活作用,尤其在用金属离子初步激活酶活力后,再加以次声处理,更能增加其活力。目前虽不能对其机理加以解释,但此种实验结果,对酶结构的了解有启发性的作用。但此种酶所含杂蛋白低于若干值时则无法用次声激活。次声对

其他酶液的作用如何,为一值得研究的问题(1986年有人曾对几种重要酶液做过此种次声实验,均无法激活,其资料未发表)。

### 参 考 文 献

- [1] 沈持衡、陈柏云等:《海洋通讯》,4,58,1985。
- [2] 沈持衡、陈世杰等:《福建水产》,(2),21,1986。
- [3] 沈持衡等:《第五届全国生物医学电子学术会议论文选集》,3-5,1984。
- [4] 郑志成等:《厦门大学学报》25(1),84,1986。
- [5] Morton R. K.: *Nature*, 166, 1092, 1950。
- [6] 欧阳培等:《热带海洋》5,1,1985。
- [7] Garen A. and Levinthal, C.: *Biochem. Biophys. Acta*, 138(3), 470, 1960。
- [8] Lowry, O. H. et al.: *J. Biol. Chem.*, 193, 265, 1951。

[本文于1987年2月5日收到]

(上接第24页)

酶。老鼠口服大剂量的灰黄霉素引起肝肿大,出现原卟啉积累,并且与亚铁螯合酶活性降低成正比关系。实验性卟啉症为研究缺陷酶调节机制提供了有用的模型。

此外,铅中毒的特征为ALA和粪卟啉的排出量增加,是由于铅抑制ALA脱水酶和亚铁螯合酶之故。亚铁螯合酶活性的降低引起血红素合成减少,影响珠蛋白的合成,从而导致铁粒幼红细胞性贫血。

### 参 考 文 献

- [1] Porra, R. J.: *Anal. Biochem.*, 68, 289, 1975。
- [2] Dailey, H. A.: *J. Bacteriol*, 132, 302, 1977。
- [3] Labbe, R. F. et al.: *Biochem. Biophys. Acta.*, 41,

185, 1960。

- [4] Mailer, K. et al.: *Biochem. Biophys. Res. Commun.*, 96, 777, 1980。
- [5] Taketani, S. et al.: *J. Biol. Chem.*, 256, 12748, 1981。
- [6] Dailey, H. A.: *J. Biol. Chem.*, 236, 14714, 1962。
- [7] Mazanowska, A. M. et al.: *Biochem. J.* 98, 117, 1966。
- [8] 麦克利恩, N(鲁子贤等译):《血红蛋白》,科学出版社,30页,1983。
- [9] Susan, P. C. et al.: *Molecular and Cellular Biochemistry*, 64, 127, 1984。
- [10] Viljoen, D. J. et al.: *Am. J. Hematol*, 6, 185, 1979。
- [11] George, R. R.: *Science*, 198, 199, 1977。
- [12] Matteis, F.: *Enzyme*, 16, 266, 1973。

[本文于1986年11月19日收到]